

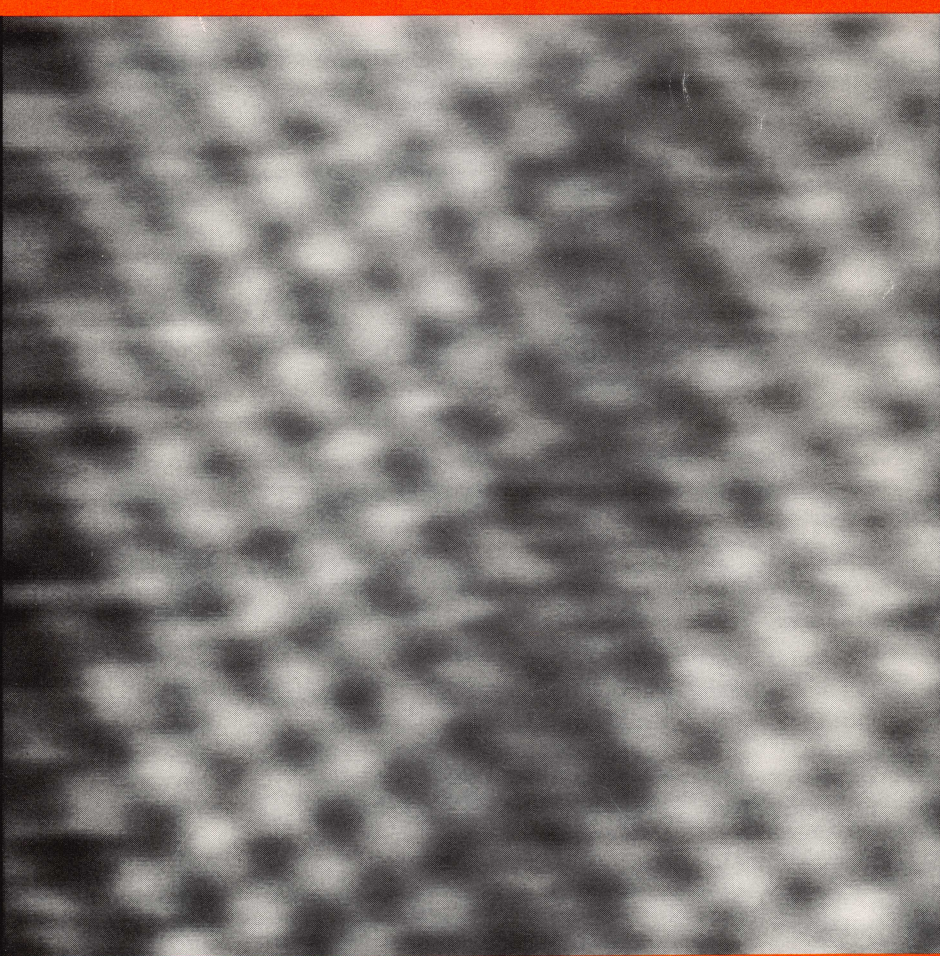
固体物理 6

KOTBA2 29 (6) 517-586 (1994)

SOLID
STATE
PHYSICS
Vol.29 1994

No.340

- 気相からの結晶成長——原子レベルから熱力学まで——
- 圧力効果から見たマンガン規則合金・化合物の磁性
- CT手法による磁界断面測定法 ● 新しいホウ素炭化物超伝導体
- 量子ホール効果におけるエッジ状態と位相不変量
- 結晶成長におけるサーファクタントの効果
- 主鎖型液晶高分子のスマートチック液晶——偶奇効果と新規スマートチック液晶——



酸化物超伝導体 $\text{Bi}_2\text{Sr}_2\text{CaCu}_2\text{O}_y$ 剥開面のSTM像
(東大・工 生田博志)

●内容の範囲

固体物理（結晶、アモルファス物質、金属物性、誘電体、半導体、磁性体、光学的・熱的・機械的性質など） 固体物理の応用（半導体素子、磁性材料、光学的結晶材料、レーザーなど） 実験法・実験装置（分析・計測機器、自動化機器、計算機など） 固体物理周辺の最近の話題 そのほか（隨想、内外ニュース、書籍の紹介など）

固体物理

1994年6月・第29巻第6号

解説 気相からの結晶成長——原子レベルから熱力学まで——

斎藤幸夫・上羽牧夫・1(517)

解説 圧力効果から見たマンガン規則合金、化合物の磁性

金子武次郎・鹿又 武・11(527)

実験室 CT手法による磁界断面測定法 斎藤英雄・中島真人・25(541)

トピックス 量子ホール効果におけるエッジ状態と位相不変量

初貝安弘・34(550)

トピックス 結晶成長におけるサーファクタントの効果

坂本邦博・松畠洋文・43(559)

トピックス 主鎖型液晶高分子のスマートチック液晶

——偶奇効果と新規スマートチック液晶—— 林 學・渡辺順次・49(565)

新結晶・新物質 新しいホウ素炭化物超伝導体 高木英典・58(574)

休憩室 (UCSB理論物理学研究所)	9
休憩室 (ランダウ研究所)	10
休憩室 (物質探索の夢——非壊変ポロニウム)	40
休憩室 (フラクチャーション)	42
最近出た本・読んだ本 (作道恒太郎著「固体物理」)	56
消息——人事異動のお知らせ	69
お知らせ (光科学・光科学技術の研究に対する助成と表彰の募集, 第32回茅コンファレンス「新しい炭素の科学」)	57
今月号の執筆者	69
編集後記, 今月号の表紙, 7月号の内容予定	70

今月号の編集に携わった人

江間健司 田崎 明 近角聰信 塚田 捷
常行真司 十倉好紀 西田信彦 永長直人
三浦 登 森垣和夫 安岡弘志 米沢富美子
長崎誠三 沢口悦郎 清水博道

誌友として協力いただいた方

青木圭子 生嶋明 江沢洋 小形正男 押山淳
小野寺彰 鹿児島誠一 加藤礼三 川勝年洋 木村初男
国府田隆夫 小宮山進 近桂一郎 斎藤理一郎 澤田昭勝
新庄輝也 寿栄松宏仁 菅滋正 杉田恒 高野宏
高橋 隆 滝田宏樹 竹添秀男 嶽山正二郎 田中通義
田沼静一 土井正男 外村彰 中村新男 永嶺謙忠
西原美一 仁田昌二 平林泉 藤井博信 藤田敏三
丸山瑛一 都福仁 森弘之 八尾誠 八木駿郎
山口俊久

固体物理 第29巻第6号 1994年6月15日発行

定価 2,740円 (本体価格2,660円+消費税80円)

発行人 (株)アグネ技術センター 代表者 長崎誠三

発行所 株式会社 アグネ技術センター

〒107 東京都港区南青山5の1の25 北村ビル

印刷所 小宮山印刷工業株式会社

広告取扱い 科学技術社 電話 (03)3815-8163

SOLID STATE PHYSICS

CONTENTS

June 1994

Vol. 29, No. 6

Editors of this issue

K. Ema
S. Chikazumi
N. Miura
K. Morigaki
N. Nagaosa
N. Nishida
A. Tasaki
Y. Tokura
M. Tsukada
S. Tsuneyuki
H. Yasuoka
F. Yonezawa
E. Sawaguchi
S. Nagasaki

Associate Editor

H. Shimizu

Publisher

S. Nagasaki

published monthly by

AGNE
GIJUTSU
CENTER

Kitamura Bldg.
1-25, Minamiaoyama
5 chome,
Minato-ku, Tokyo

overseas subscription
rate (annual): ¥32,000

Review

Crystal Growth from the Vapor Phase : From Atomic Level to Thermodynamics · 1 (517)
by Yukio Saito and Makio Uwaha

An introductory review is given on the crystal growth from the vapor phase. Step instability due to Schwoebel effect is discussed. Surface morphology during molecular beam epitaxy is also referred.

Review

High Pressure Magnetism of Manganese Alloys and Compounds · 11 (527)
by Takejiro Kaneko and Takeshi Kanomata

Magnetic properties of manganese alloys and compounds are known to be sensitive to the Mn-Mn atomic distance. Experimental and theoretical investigations are reviewed about the pressure effect on magnetization and magnetic transition temperature of manganese ordered alloys and compounds.

Laboratory Guide

Measurement of Magnetic Field Distribution Using CT Technique · 25 (547)
by Hideo Saito and Masato Nakajima

The method for measuring magnetic field distribution by applying CT technique to the electromagnetic induction is described. The pilot experimental system for measuring the magnetic field is presented, and then the experimental results are shown for demonstrating the efficacy of this method.

Topics

Edge States and Topological Invariants in the Quantum Hall Effect · 34 (550)
by Yasuhiro Hatsugai

Edge states in the integer Quantum Hall effect on the lattice is discussed in relation to the topological character. This new topological invariant is different from the famous topological invariant defined by the Chern number of the Bloch functions. We also clarified the relation between these two.

Topics

Effects of Surfactants on Molecular Beam Epitaxy · 43 (559)
by Kunihiro Sakamoto and Hirofumi Matsuhata

Effects of surfactants on Si/Ge/Si heteroepitaxy are reviewed. A Surfactant layer adsorbed on the surface prevents both three-dimensional island formation of Ge and intermixing of Si and Ge at the heterointerfaces. These effects stem from the surfactants' nature of being strongly segregated to the surface and of obstructing the surface migration of growing species.

Topics

Smectic Liquid Crystals in Main Chain Polymers · 49 (565)
by Manabu Hayashi and Junji Watanabe

The structural characteristics of smectic liquid crystals in main chain liquid crystalline polymers have been described. In particular, their significant dependence on the condition whether the carbon number of flexible spacer is even or odd is discussed.

New Crystals and New Materials

New Family of Boride-Carbide Superconductors · 58 (574)
by Hidenori Takagi

The discovery of new family of high- T_c boride-carbides, $Y-Pd-B-C$ ($T_c \sim 23$ K), $LnNi_2B_2C$ ($T_c \sim 16.6$ K), $LnPt_2B_2$ ($T_c \sim 11$ K) has provided fresh fuel for driving superconductivity research. Physical and chemical properties of the new boride-carbide superconductors are presented.

トピックス



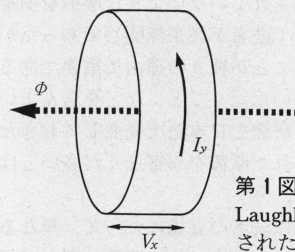
量子ホール効果における エッジ状態と位相不変量

東京大学物性研究所 初貝安弘

§1 はじめに

言うまでもなく、量子力学においては古典力学と異なり、系を記述する波動関数の位相が本質的に重要である。近年、この波動関数の位相に関して、時間とともに変動する通常の波動としての位相ではなく、系の幾何学的な構造に依存した非自明な位相が、重要であることが明らかとなった。このいわゆる幾何学的位相という概念は、Berryによる、断熱変化に伴った位相(ベリー位相)の発見以来¹⁾新たな興味を持たれているものである。この幾何学的位相による効果は、その幾何学的由来のため系の微細な変化などにはよらずいろいろな意味で安定でありマクロな量子力学的効果として観測にかかることが期待されるのである。

Klitzingらにより発見された、量子ホール効果²⁾は、2次元系におけるホール伝導度が、極めて高い精度で e^2/h を単位として量子化される現象であるが、現象の、系の不純物、配置などに関する安定性など実験の複雑な物理的状況を考えたとき、その極めて高い精度の量子化はその背後にトポロジカルな理論の存在を示唆する。実際、量子ホール効果は、まさにこの種のマクロな量子力学的効果と考えられ、物性論における、幾何学的効果の典型的な例である。ここでは、この量子ホール効果を位相幾何学的側面からとらえる理論について振り返り、最近のエッジ状態を用いた位相不变量による理論まで議論したい。以下の議論では、いわゆる、整数量子ホール効果のみを議論するが、いくつかの手法により分数量子ホール効果も整数量子ホール効果の理論として、記述されるであろうと考えられることをコメントしておく。



第1図
Laughlinにより初めて議論されたシリンダー上の配置。

§2 ゲージ不变性とエッジ状態

Laughlinは系のゲージ不变性を用いて、ホール伝導度が、量子化されることを一般的な視点から示した³⁾。まずこの議論を紹介しよう。物理系として、第1図のようなシリンダー状の系を考える。ここで、 B は2次元系を貫く磁場、 Φ は、アハロノフ・ボーム効果をもたらす磁束である。この配置において、系のホール電流 I_y は、 Φ を断熱的に $\Delta\Phi$ 変化させたときのエネルギー変化 ΔE を使って、Byers-Yang の公式より⁴⁾,

$$I_y = c \frac{\Delta E}{\Delta \Phi} = \sigma_{yx} V_x = -\sigma_{xy} V_x. \quad (1)$$

となる。ここで $\Delta\Phi = \Phi_0 = hc/e$ と磁束単位だけ変化させた場合を考えると、この変化は、系のゲージ不变性からゲージ変換で打ち消すことができるから、この断熱変化の前後で電子系の状態は同じでなければならない。よって、この断熱過程において何個か(n 個)の電子が系をよぎって移動することのみが許されるであろう。このとき V_x だけの電圧が系の幅方向にかかるとすれば、 $\Delta E = neV_x$ であるから式(1)より

$$\sigma_{xy} = -n \frac{e^2}{h} \quad (2)$$

となり、ホール伝導度が、整数値 n に量子化されることとなる。この議論は全く一般的であるが、ホール伝導度 n は 0 かもしだれず、その値はどんな整数であるか全く不定で決定できない点が欠点である。一方で Halperin は、量子ホール効果においては、系に境界が存在することが本質的であることを指摘した⁵⁾。まず磁場中の電子系には電子のサイクロトロン運動に必然的ともなった、一方向のみの運動量をもつた(カイラルな)モード、エッジ状態が系の境界に存在することに注意し、連続空間においては、ホール伝導度は、フェルミ準位以下のランダウ準位の数となることを示した。

これら、Laughlin, Halperin の議論は、系が連続の空間であることを仮定した議論であったが、周期ポテンシャルを陽に取り入れた場合これらの議論はどうなるのであろうか？このような視点から格子上の問題を考えることにより量子ホール効果のトポロジカルな面が明らかとなる。次節以降での具体的な議論に入る前に、議論をはっきりさせるために格子上の電子系のハミルトニアンを述べておこう。以下次のハミルトニアンを考える。

$$H = -t \sum_{m,n} (\hat{c}_{m+1,n}^\dagger e^{i\theta_{m,n}^x} c_{m,n} + \hat{c}_{m,n+1}^\dagger e^{i\theta_{m,n}^y} c_{m,n}) + \text{h.c.}, \quad (3)$$

ここで、 $c_{m,n}$ は格子点 (m, n) における、生成演算子であり、 $\theta_{m,n}^x, \theta_{m,n}^y$ は磁場を表わすゲージ場であり、格子上の rotation は $\text{rot } \theta = \theta_{m,n}^x + \theta_{m+1,n}^y - \theta_{m,n+1}^x - \theta_{m,n}^y = 2\pi\phi$ であり、 ϕ は磁束単位 Φ_0 を単位としたプラケットあたりの磁束である。以下の議論では、 $\phi = p/q$ 、 p, q は互いに素の整数という状況を考える。次節からの議論では、細部は原論文を見ていただくこととして、その気持ちがわかるような説明を心がけたい。

§3 無限系、バルクな系における量子ホール効果、トポロジカル数

バルクな系での量子ホール効果においては格子上でトポロジカルな議論が本質的である。その概略をこの節で紹介する^{6~10)}。

久保公式により、相互作用のない系におけるホール伝導度は、フェルミ準位 E_F が(j 番目の)エ

ネルギーギャップにあるとき、

$$\sigma_{xy} = \frac{e^2}{2i\pi\hbar} \sum_{E_\alpha < E_F < E_\beta} \frac{(v_y)_{\alpha\beta} (v_x)_{\beta\alpha} - (v_x)_{\alpha\beta} (v_y)_{\beta\alpha}}{(E_\alpha - E_\beta)^2} \quad (4)$$

と与えられる。この表式は多少の変形の後、

$$\sigma_{xy}^{\text{bulk}} = \sum_{E_j < E_F} \sigma_{xy}^{j, \text{bulk}} \quad (5)$$

$$\sigma_{xy}^{j, \text{bulk}} = -\frac{e^2}{h} \frac{1}{2\pi i} \iint_{T_{\text{MBZ}}^2} dk_x dk_y [\nabla_k \times \mathbf{A}_u^j(\mathbf{k})]_z \quad (6)$$

と書ける、ここに、

$$\langle u^j(\mathbf{k}) | \nabla_k | u^j(\mathbf{k}) \rangle \quad (7)$$

であり、 $u_m^j(\mathbf{k})$ は j 番目のエネルギーバンドの q 成分のブロッホ関数であり、

$$\langle u^j(\mathbf{k}) | u^j(\mathbf{k}) \rangle = \sum_{m=1}^q |u_m^j(\mathbf{k})|^2 = 1$$

と規格化され、 $\mathbf{A}^j(\mathbf{k})$ は、 q 成分をもった仮想的ベクトルポテンシャルと考えてよい^{*1}。

この表式は、 j 番目のエネルギーバンドからのホール伝導度への寄与 σ_{xy}^j が、 $\nabla_k \times \mathbf{A}^j(\mathbf{k})$ をある種の(仮想的)磁束密度と考えたとき(磁気)ブリルアン・ゾーンを貫く(仮想的)全磁束で与えられることを示している。なお、このホール伝導度は、 $\mathbf{A}^j(\mathbf{k})$ に対するゲージ変換の自由度によらず定まることを注意しておきたい。

ここでストークスの定理をグローバルに使えば、磁気ブリルアン・ゾーンが境界を持たないトーラス^{*2}、であることから $\sigma_{xy}^j = 0$ となるが、これは正しくなく、正確には、ブリルアン・ゾーン内には特異点が存在することを正しく取り扱わなければならない。つまり、ブリルアン・ゾーン全域で大域的に正則なゲージを選ぶことはできず、特異点からなる、ある種のボーテックスがホール伝導度を与えるのである。たとえば、具体的には、第 q 成分 $u_q(\mathbf{k})$ を常に実で正であるようにとることを考えよう。もしこれが、ブリルアン・ゾーン全域で許されれば、大域的に正則なゲージとなるが、一般には、 $u_q(\mathbf{k}_0) = 0$ となる \mathbf{k}_0 があり、この点が特異点、ボーテックスを与えることとなる。

*1 磁場の効果により、実効的に単位胞が q 倍となり、対応して、ブロッホ状態は、 q 成分をもつ。

*2 k_x, k_y 両方向での周期性からブリルアン・ゾーンは位相的にはトーラス、 $S^1 \times S^1$ となる。

ここでの状況は、Wu-Yangにより指摘された、磁気单極子の量子化の議論と極めて類似している。その類似によれば、ディラックのストリングがいまの問題でのボーテックスラインに対応し、磁気单極子の量子化の条件がホール伝導度の量子化を与えることになる。なお(6)式は、数学的には波動関数の $U(1)$ 部分からなる、ファイバーバンドルが定義するチャーン数と呼ばれる位相不変量である。このバルク系での議論により、ホール伝導度のトポロジカルな特性が明らかになり、極めて精度の高い量子化を支持する一つの根拠となる。

§4 境界を持った系、シリンダー状の系における量子ホール効果、トポロジカル数

この節では、前述のハミルトニアンをシリンダー状の境界をもつ系において考察し、エッジ状態によるホール伝導度の記述および、そのトポロジカルな性格を説明したい¹¹⁾。まず、シリンダー状の系を考察するため、波動関数 $\Psi(x, y)$ に対する境界条件として、 y 方向には周期的境界条件 $\Psi(x, y + E_y) = \Psi(x, y)$ 、 x 方向には固定端の条件 $\Psi(x=0, y) = \Psi(x=L_x, y) = 0$ を課する^{*3}。このとき、ゲージの自由度を用いて y 方向のランダウゲージ $\theta_{m,n}^x = 0$, $\theta_{m,n}^y = 2\pi\phi m$ とすれば、系は、 y 方向について完全に周期的であるから、フーリエ変換により、 y 方向の運動量 k_y をパラメーターとする、1次元系のハミルトニアン $H(k_y)$ を得ることができる^{*4}。この1次元系に対するシュミレディンガー方程式 $H(k_y) |\Psi((k_y)) = E(k_y) |\Psi(k_y)\rangle$ は、転送行列の形に、

$$\begin{pmatrix} \Psi_{m+1}(\epsilon, k_y) \\ \Psi_m(\epsilon, k_y) \end{pmatrix} = M_m(\epsilon, k_y) \begin{pmatrix} \Psi_m(\epsilon, k_y) \\ \Psi_{m-1}(\epsilon, k_y) \end{pmatrix}, \quad (8)$$

$$M_m(\epsilon, k_y) = \begin{pmatrix} -\epsilon - 2 \cos \left(k_y - 2\pi \frac{\Phi}{L_y} - 2\pi\phi m \right) & -1 \\ 1 & 0 \end{pmatrix} \quad (9)$$

と書ける、ここで $\epsilon = E/t$ であり、この環元された1次元系の系における、境界条件は、 $\Psi_0 = \Psi_{L_x} = 0$ である。

以下しばらく k_y を固定して、この1次元系を考察する。この1次元系においては、エッジ状態は系の境界に局在する、束縛状態とみなせる。一般にレビソンの定理、フリーデルの総和則などの議論にみられるように、束縛状態の情報は、散乱状態の波動関数を複素エネルギーに解析接続することにより得られることが多い。この一般的な方針に従い、まず散乱状態、つまり、エネルギーバンド(連続スペクトルを持つ周期系)を考えよう。この周期系ではプラケットあたりの磁束が p/q であることに対応して、ランダウ・ゲージのもとでは、1次元系の単位胞が q 倍になっており、エネルギースペクトルは q 個のエネルギーバンド

$$\epsilon \in [\lambda_1, \lambda_2], \dots, [\lambda_{2j-1}, \lambda_{2j}], \dots, [\lambda_{2q-1}, \lambda_{2q}], \quad (10)$$

からなる。さらにブロッホの定理は、 $M(\epsilon) = \prod_{m=1}^q M_m(\epsilon)$ が、絶対値 1 の固有値 $\rho(\epsilon)$ を持つことを要請し、 $\rho(\epsilon)$ は、固有方程式

$$\rho(\epsilon)^2 - \Delta(\epsilon)\rho(\epsilon) + 1 = 0, \quad \Delta(\epsilon) = \text{Tr } M \quad (11)$$

を満たす。なお、 $\det M_m(\epsilon) = 1$ より、 $\det M(\epsilon) = 1$ である。ここに、 $\Psi_1 = 1$ との規格化条件をすればすべての波動関数は、転送行列により陽に定まることを注意しておく^{*5}。

さて、エッジ状態を考察するため連続スペクトルを与える周期系の固有エネルギー ϵ を複素エネルギー z に解析接続しよう。(11)式よりわかるように、系の複素エネルギー面は複素関数

$$\omega = \sqrt{\Delta(z)^2 - 1} \quad (12)$$

$$= \sqrt{(z - \lambda_1)(z - \lambda_2) \cdots (z - \lambda_{2q-1})(z - \lambda_{2q})} \quad (13)$$

のリーマン面により定まる。この関数のプランチ

^{*3} 技術的理由により、 L_x は q の倍数であると仮定する (commensurate 条件)。

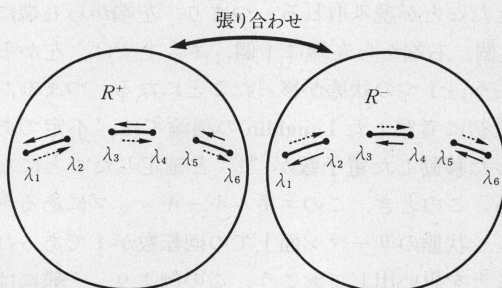
^{*4} 系を貫くアハロノフ-ボーム磁束 Φ を (Φ_0 を単位として) 含めたときは、 $k_y + 2\pi(\Phi/L_y)$ がパラメーターとなる。以下の表式では、このフラックスも適宜、含めておく。

^{*5} 当然この波動関数は、通常の意味で規格化されていない。

は、(10) 式で定まる q 個のエネルギー帯をプランチカットとして 2 枚の複素平面^{*6} R^+ および R^- を第 2 図の矢印の向きに沿って張り合わせたものとなる^{*7,13}。この複素エネルギー面(リーマン面 $\Sigma_g(k_y)$)は、図よりわかるように、プランチカットが、 q 個であったことに対応して g ($=q-1$) 個穴のあいた浮き輪と同相であり、エネルギーギャップの数 g は、リーマン面の種数と呼ばれる。概念的に言ってエネルギーギャップは、リーマン面の穴の内側の閉曲線に、エネルギー帯は、面上の第 3 図のような閉曲線に対応すると考えて良い。

以上の準備のもと、次の事実が証明される¹²⁾。

- 1) エッジ状態のエネルギーは実であり系の大きさによらず、 g 個のエネルギーギャップの中に必ず一つそして一つずつ存在する。また、エッジ状態以外の固有値は、エネルギー帯の領域に、系の大きさを大きくしていったとき収束する^{*8}。
- 2) j -番目のギャップにあるエッジ状態の波動関数を、その散乱状態から解析接続すれば、その固有エネルギー μ_j はリーマン面上“穴の内面に”一つずつあり、また、あるプランチの決め



第 2 図 二つのプランチを持つ複素関数、 $\omega = [(z - \lambda_1) \cdots (z - \lambda_{2g})]^{1/2}$ のリーマン面の構成法。

第 3 図

プラケット当たりの磁束が、 $\phi = p/q$ である場合のブロックホ関数の複素エネルギー面(リーマン面)。種数 g は、エネルギーギャップの数で与えられる。 $C(\mu_j)$ は、エッジ状態の波動関数を解析接続により、構成したときのエネルギー μ_j の軌跡であり、ブリルアン・ゾーンがコンパクトであることに対応して、閉曲線となる。

方のもとで次の対応が成り立つ。

エッジ状態は、左端($x \approx 1$)(右端($x \approx L_x$))に局在している→対応するエネルギー μ_j は $R^+(R^-)$ 上にある。

- 3) μ_j で $\Psi_q(\epsilon = \mu_j) = 0$ である^{*9}。

この考察により、エッジ状態のエネルギーの複素エネルギー面上での位置を知れば、その波動関数が、シリンダーの左右 2 つある境界のうちどちらの境界に局在しているかがわかることになる。

ここまで議論では、 y 方向の運動量は、固定して考えていたが、この運動量を変化させることを考えよう。この変化の過程でリーマン面 $\Sigma_g(k_y)$ の種数が変化しなければ、つまり、物理的には、2 次元の問題として、エネルギーギャップが開いていれば、位相的には、すべてのリーマン面を同一視できる。このとき、 k_y も格子の周期性より、ブリルアン・ゾーンを動くため $k_y \in [0, 2\pi]$ であり、0 と 2π を同一視しなければならないことに注意すれば、リーマン面上で、エッジ状態のエネルギー μ_j は、それぞれ向きのついた閉曲線 $C(\mu_j)$ をつくることがわかる。

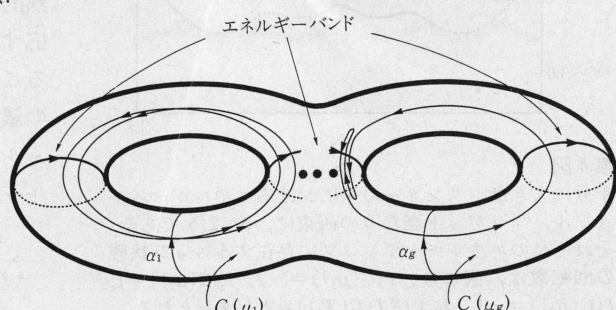
これらの閉曲線は、それぞれ各エネルギーギャップすなわちリーマン面の“穴”的周囲を囲むからその回転数が定まり、これはリーマン面上の整数の位相不変量となる。なおこの回転数は、第 3 図のような標準的な閉曲線 α_j を面上にとってお

*6 ∞ 点を付け加えコンパクト化した、リーマン球を考える。

*7 以下の操作を想像してみて欲しい。まず、プランチカットを拡げて引き出しチューブとし、一つのリーマン球を手前にもってきてその裏側で 2 つのチューブを張り合わせる。

*8 有限系であるからすべての固有値は離散的である。

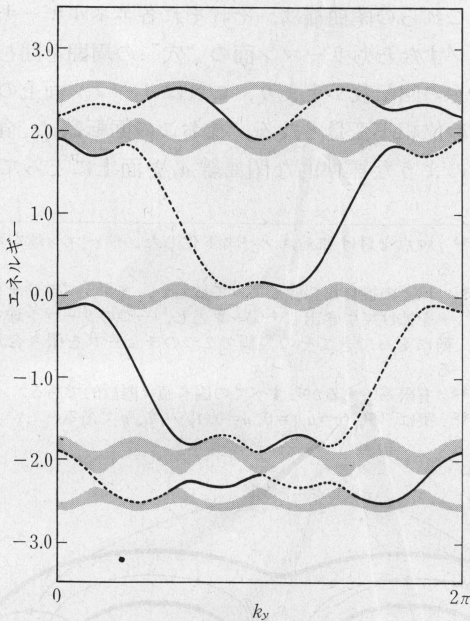
*9 実は、 $\Psi_n(\epsilon = \mu_j) = 0, n = 0, 1, \dots, L_x/q$ である。



ければ、エッジ状態の軌跡 $C(\mu_j)$ と α_j との符号つき交点数で与えられることもわかるであろう。

ここで、いくつかの具体的な例を示そう。第4図は、 $\phi=2/5$ の場合で影をつけた領域がエネルギー・バンド、実線および破線は、エッジ状態のエネルギーを示す。 k_y を固定した、つまり k_y 一定の縦線での図の断面が一つのリーマン面を定めることに注意して欲しい。実線は、対応するエッジ状態がシリンダーの左端に局在していること、および、そのエネルギーがリーマン面の R^+ 側にあることを示し、破線は、逆に対応するエッジ状態がシリンダーの右端に局在していること、および、そのエネルギーがリーマン面の R^- 側にあることを示す。

この図より閉曲線 $C(\mu_j)$ の動きを読みとれる。たとえば、下から2番目のギャップのなかにあるエッジ状態は、リーマン面の2番目の“穴”の周りを一回、回転することが見てとれよう。興味深いことにその動きは、必ずしも単調でなく行きつどりつしていることがわかる^{*10}。重要なこと



第4図

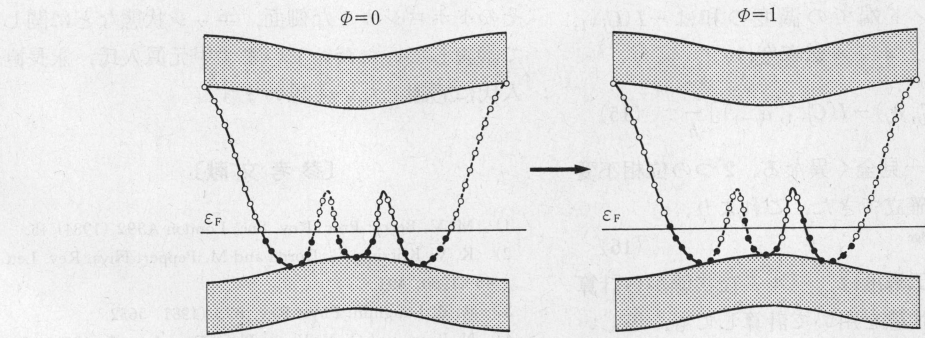
十分に大きなシリンダーの系におけるエネルギー・スペクトル。プラケット当たりの磁束は、 $\phi=2/5$ である。それぞれのエネルギー・ギャップに存在するエッジ状態の回転数は、図より、 $I(C(\mu_1))=-2$, $I(C(\mu_2))=1$, $I(C(\mu_3))=-1$, および $I(C(\mu_4))=2$ と読みとれる。

は、エネルギー・ギャップが閉じない限り、つまりリーマン面の位相が変化しない限り、いかなる動きをしてもその回転数は、変化できない点にある。これがこれから説明するようにホール伝導度の位相的性格に対応する。

さて、ホール伝導度を Byers-Yang の公式により計算しよう。今、実は y 方向の系のサイズは、有限であるので、 k_y は、 $k_y=2\pi n/L_y$, $n=1, \dots, L_y$ と離散的であり、上述の1次元系は、 $k_y+2\pi\Phi/L_y$ をパラメーターとしていることに注意する。アハラノフ-ボーム・フラックス Φ を $0 \rightarrow 1$ と磁束単位だけ変えたとき、この変化がラージゲージ変換であるため1粒子のスペクトルは、完全に不变であり、1粒子状態は、隣接する運動量の点に移る。

このとき、もしフェルミ・エネルギーがバルクなエネルギー・ギャップのなかにあれば、ブリルアン・ゾーンがコンパクトであることより、バルクな状態は、完全にもとの状態に戻る。しかし、エッジ状態は、第5図よりわかるように常に、フェルミ・エネルギー上にもいくつか状態が存在し完全にはもとの状態に戻らず、状態が変化する。たとえば、第5図の例では、この変化の前後で、破線上の状態が2個、実線上の状態が1個減り、また破線上の状態が1個、実線上の状態が2個増えたことが読み取れる。つまり、左端から右端に2個、右端から左端に1個、ネットでは、左から右へ、1つの状態が移ったことになる。つまり、最初に考察した Laughlin の議論では、不定であった移動した電子数が “1” と確定したことになる。このとき、このエネルギー・ギャップにあるエッジ状態のリーマン面上での回転数が1であったことを思い出しておこう。この例より、一般にはアハラノフ-ボーム・フラックスを磁束単位だけ断熱的に変える過程において移動する電子数は、対応するエッジ状態の回転数 $I(C_j, \alpha_j)$ で与えられることもほぼ明らかであろう。つまり、Laughlin の議論により、 j 番目のエネルギー・ギャップにフェルミ・エネルギーがある場合のホール伝導度は、エッジ状態の回転数により定まり、

*10 これはあるエネルギーでのエッジ状態が異なる符号の運動量を持ち複数個あることに対応する。



第5図 ゲージ変換とエッジ状態およびバルク状態. アハロノフ・ボーム磁束を磁束単位変えたとき1粒子状態は、隣接する運動量の点に移る.

$$\sigma_{xy}^{\text{edge}} = -I(C_j, \alpha_j) \frac{e^2}{h} \quad (14)$$

となる. この結果により、ホール伝導度を、エッジ状態に関連する新たな位相不変量により表現できたことになる.

なお、エッジ状態は、系の境界に、指数関数的に局在するモードであり、エッジ状態間の散乱の確率は、シリンダーの幅について、指数関数的に減少するため、マクロスコピックな系では0であると考えてよい. このエッジ状態間の散乱を無視できる範囲では、エッジ状態は、カイラルであり、局在の影響を受けない. これもまた、量子ホール伝導度の不純物に対する、安定性を支持する結果である^{*11}.

§5 二つのトポロジカル数の関係、バルクかエッジか？

前の2つの節でホール伝導度に対する位相幾何学的理論として、境界のないバルクな系での理論と境界をもつ系でエッジ状態を用いた理論との二つを紹介した. この節では、その間のお互いの関係について議論したい^{*12}.

第3図に示したように y 方向の運動量を固定したとき、エネルギー帯は、リーマン面 $\Sigma_g(k_y)$ 上の q 個のループとなり、このループは、 x 方向

の運動量 k_x でパラメーター表示される. k_y も周期性から本質的に q 個のサークル $S_j^1, j=1, \dots, q$ 上を動くことを思はずと、2次元の問題としての全空間 $\Sigma_g \times S^1$ において2次元のエネルギー帯は q 個のトーラス $S_j^1 \times S^1, j=1, \dots, q$ として切り出されてくることがわかるであろう. この q 個のトーラスが、磁気ブリルアン・ゾーン上での q 個のエネルギー帯に対応する.

ここで実空間での波動関数 $\Psi_j(k_y)$ とバルクな場合の公式での2次元系でのプロッホ関数 $u_j(k_x, k_y)$ は $\Psi_j(k_x, k_y) = \rho(k_x, k_y) u_j(k_x, k_y)$, $\rho(k_x, k_y) = e^{ik_x}$ で結びついている. 以前に示したゲージの選び方によれば、 $u_q(k_0) = 0$ となる k_0 が特異点を与えたが、この点ではまた $\Psi_q(k_x, k_y) = 0$ となっている. ここで、エッジ状態についての結果を使うと、エッジ状態の軌跡 $C(\mu_j)$ がエネルギー帯と交差する所で、前述の磁気ブリルアン・ゾーン上でのボーテックスが与えられることがわかる. 言い換えると、エッジ状態は、一般にボーテックスラインを与え、プロッホの条件を満たすとき(普通の散乱理論でのオンシェルの条件のとき)，物理的な、ボーテックスをブリルアンゾーンで与えることとなる. またブリルアン・ゾーン上でのボーテックスは、すべてこのエッジ状態からなるボーテックスで与えられ、すべて1次元の問題としては、バンド端にあることもわかる. 更に、ボーテックスの渦度に関して、ボーテックス近傍で、波動関数を陽に、展開し、渦度を求められる. その結果、 j 番目のエネルギー帯に関して高エネルギー帯端での渦度の和は $I(C_j, \alpha_j)$ 、低

*11 実際の系では、不純物効果などによりこれらのトポロジカルな議論が文字通りそのまま成立するわけではないが、エッジ状態による議論は特に、そのカイラルな性格のため、ある意味での固定点としてのモデルとしての意味があると考えている.

エネルギー・バンド端での渦度の和は $-I(C_{j-1}, \alpha_{j-1})$ と計算され、ホール伝導度は、

$$\sigma_{xy}^j = -[I(C_j, \alpha_j) - I(C_{j-1}, \alpha_{j-1})] \frac{e^2}{h} \quad (15)$$

となる。ここに一見全く異なる、2つの位相不変量の間の関係を確立できた。これより、

$$\sigma_{xy}^{j, \text{bulk}} = \sigma_{xy}^{j, \text{edge}} \quad (16)$$

すなわちホール伝導度は、バルクな状態から計算しても、エッジ状態を用いて計算しても、等しい値となる。

物理的には、バルクな系でのホール伝導度を与える、磁気ブリルアン・ゾーンでのボーテックスは、バルクなエネルギー・バンドにエネルギー的に縮退したエッジ状態により与えられる。このとき左右のエッジ状態も、例外的に縮退し、それ以外の場合、エッジ状態は、ある種のボーテックスラインを与えることとなる。

最後に、ここで、日頃、量子ホール効果、特に

そのトポロジカルな側面、エッジ状態などに関して議論していただいている甲元眞人氏、永長直人氏に感謝したいと思います。

〔参考文献〕

- 1) M. V. Berry: Proc. Roy. Soc. London A392 (1984) 45.
- 2) K. V. Klitzing, G. Dorda and M. Pepper: Phys. Rev. Lett. 45 (1980) 494.
- 3) R. B. Laughlin: Phys. Rev. B23 (1981) 5632.
- 4) N. Byers and C. N. Yang: Phys. Rev. Lett. 7 (1961) 46.
- 5) B. I. Halperin: Phys. Rev. B25 (1982) 2185.
- 6) D. J. Thouless, M. Kohmoto, P. Nightingale and M. den Nijs: Phys. Rev. Lett. 49 (1982) 405.
- 7) J. Avron, R. Seiler and B. Simon: Phys. Rev. Lett. 51 (1983) 51.
- 8) M. Kohmoto: Ann. Phys. (N.Y.) 160 (1985) 355.
- 9) M. Kohmoto: Phys. Rev. B39 (1989) 11943.
- 10) Y. Hatsugai and M. Kohmoto: Phys. Rev. B42 (1990) 8282.
- 11) Y. Hatsugai: Phys. Rev. B48 (1993) 11851.
- 12) Y. Hatsugai: Phys. Rev. Lett. 71 (1993) 3697.
- 13) N. Toda: *Theory of Nonlinear Lattices* (Springer-Verlag, 1981); D. Mumford: *Tata Lectures on Theta I, II* (Birkhäuser, Boston, 1983).

休/憩/室/

物質探索の夢——非壊変ポロニウム

物質探索または物質開発の夢を見ることは楽しい。それに正夢になることだってある。私はおととし「幻の1次元炭素結晶——カルビン」という解説を本誌に書いた(27卷10号(1992)733~740)。炭素は3次元構造のダイヤモンド、2次元性の強いグラファイト、0次元ともいえるフラー・レン分子という具合に構造のバラエティに富むが、1次元性の炭素があまり知られていない。ミクロンサイズの結晶しか見いだされていないカルビンと称される炭素結晶が1次元性の強い構造をもつようである。私にはこのカルビンのマクロサイズの合成が夢であった。昨年の夏以来、若いロシア人研究者 Andrei Palnichenko君との共同研究で、私達がCARBOLITEと呼ばうとしている新しい透明炭素結晶の合成に成功した。非常に低密度の結晶で、C—C鎖が三角格子を作り互いに平行にファンデルワールス力で弱く結合している構造がその第1近似である。カルビンとは異なる物となったが、全く新しい炭素のモルフォロジーを得たという意味でまさに正夢であった。

ここに述べるのは非壊変性ポロニウムの物性探索の夢である。原子番号84番元素Po(poisonium)は、1898年にキューリー夫妻によって発見された元素で、その強い放射能をウラン鉱石ピッチブレンドから検出したのが発見の端緒であった。酸素、硫黄、セレン、テルルと共に周期表のVI族に属し、その中で最も重い元素であり、V族の83番Biを隣接元素にもつ。ポロニウムには質量数198から217に至る数多くのアイソトープがあり、すべて放射性をもつ。天然のものは²¹⁰Poが主で、これは約140日の半減期で鉛に壊変しα線を放射する。きわめてアバンダンスの少ない元素なので、その物性はほとんど知られていない。結晶構造が格子定数3.35 Åの単純立方晶ということは甚だ特異である。なぜならば単純立方という隙間の多い構造を取るといわれるのは全元素中ポロニウムだけだからである。一つの見方をすれば、単純立方を少し歪ませて最隣接原子数が2個の鎖状構造を取るテルル、単純立方からわずかの歪みによって最隣接原子数が3個の菱面体構